

بررسی آنزیم آلفا آمیلاز پانکراس موش صحرایی به عنوان مدل جهت بررسی تاثیر مهار کننده‌های این آنزیم

شیوا خلیل مقدم^۱، آزاده ابراهیم حبیبی^۲، پروین پاسالار^۳، پریچهره یغمایی^{*}، باقر لاریجانی^۲

چکیده

مقدمه: آنزیم‌های گلیکوزیداز در هضم نشاسته و گلیکوزون در نتیجه افزایش قند خون موثرند. مهار کننده‌های این آنزیم‌ها خصوصاً مهار کننده‌های آلفا آمیلاز به علت نداشتن عوارض جانبی مهار کننده‌های آلفا گلیکوزید از اهمیت ویژه‌ای برخوردارند و به عنوان ابزاری با ارزش در درمان دیابت مطرح هستند. جستجوی ابتدا ای برای یافتن چنین ترکیباتی با کمک مدل‌های *in vitro* و *in vivo* صورت می‌پذیرد. در مورد مهار کننده‌های آلفا آمیلاز، از آنجا که موش صحرایی به صورت متداول به عنوان مدل فارماکولوژی مورد استفاده قرار می‌گیرد، در این مطالعه، مدل ساختار آنزیم این حیوان مورد بررسی قرار گرفته است. از آنجا که ساختار کریستالی این آنزیم‌ها موجود نمی‌باشد مطالعه مدلسازی مولکولی به منظور مقایسه آنزیم‌های آمیلاز پانکراسی موش صحرایی و انسان انجام گردید.

روش‌ها: بررسی تراالف آمینواسیدی و مدلسازی ساختار آنزیم موش با استفاده از برنامه Blast، Clustal W و SWISS MODEL انجام شد. جهت یافتن جایگاه احتمالی برهم کنش مهار کننده‌های آنزیم، ترکیب شش زیر واحدی قندی که مهار کننده گزارش شده برای آنزیم انسانی است با استفاده از روش جایگیری (داکینگ) در مدل قرار داده شد و برای بررسی بیشتر برهم کنش ترکیب با آنزیم از شبیه سازی دینامیک مولکولی کوتاه مدت استفاده گردید.

یافته‌ها: نتایج نشان دهنده تفاوت جزئی آنزیم موش صحرایی با آنزیم انسان است. در عین حال اسید آمینه‌های مهم در برهم کنش مهار کننده‌های قندی و آنزیم تا حدودی شناسایی شده‌اند.

نتیجه گیری: علی‌رغم اینکه می‌توان از آنزیم آلفا آمیلاز پانکراس موش صحرایی به عنوان مدل جهت بررسی اولیه و کلی تاثیر ترکیبات مهار کننده استفاده کرد، باید به تفاوت موجود در ساختار آن توجه کرد و بنابراین نتایج به دست آمده از مدل را در موارد حساس‌تر با احتیاط تفسیر نمود.

واژگان کلیدی: آلفا آمیلاز، مدلسازی مولکولی، مهار کننده، موش صحرایی

-
- ۱- گروه زیست‌شناسی، دانشکده علوم پایه، واحد علوم و تحقیقات دانشگاه آزاد اسلامی، تهران، ایران
 - ۲- مرکز تحقیقات غدد/پژوهشکده علوم غدد و متابولیسم، دانشگاه علوم پزشکی تهران، تهران، ایران
 - ۳- گروه بیوشیمی، دانشگاه علوم پزشکی تهران، تهران، ایران

*نشانی: تهران، پونک، حصارک، واحد علوم و تحقیقات دانشگاه آزاد اسلامی، دانشکده علوم پایه، گروه زیست‌شناسی، تلفن: ۰۹۱۲۲۰۱۰۲۲۲، پست الکترونیک: yaghmaei_p@yahoo.com

تاریخ پذیرش: ۹۱/۰۴/۲۸

تاریخ درخواست اصلاح: ۹۱/۰۳/۱۴

تاریخ دریافت: ۹۱/۰۱/۲۶

مقدمه

آلفا آمیلازها با حدود ۵۰ وزن در دسته گلیکوزیل هیدرولازها قرار دارند و با کد آنژیم EC:3.2.1.1 شناسایی می‌شوند. تمام آلفا آمیلازها اندوگلیکوزیداز هستند، بنابراین عمل هیدرولیز را از داخل مولکول نشاسته یا گلیکوزن انجام می‌دهند و کنفورماتیون آنومری آلفا را حفظ می‌کنند [۱-۳]. علی‌رغم تشابه ساختاری زیاد بین گونه‌های مختلف آلفا آمیلاز، همسانی توالي بین آنها کم است [۴,۵]. دو نوع اصلی آلفا آمیلاز در پستانداران شامل شکل بزاقی و پانکراسی آن است که تا حد زیادی در توالي آمینو اسیدها مشابه هستند [۶,۷]. مهار آنژیم‌های گلوكوزیداز می‌تواند در کاهش هضم نشاسته و جذب گلوكز در روده کوچک و کترول گلوكز خون موثر باشد [۹,۸] و به این ترتیب به عنوان یک راهکار مطرح در درمان دیابت و چاقی مطرح است [۱۰,۱۱]. از میان این مهار کننده‌ها، مهار کننده‌های آنژیم آلفا آمیلاز، از توجه بیشتری برخوردارند زیرا به نظر می‌رسد عوارض جانبی گوارشی شدید حاصل از مهار کننده‌های آلفا گلوكوزید را ایجاد نمی‌نمایند [۱۲,۱۳]. اثر مهار کننده‌های مورد نظر، ابتدا به شکل *in vitro* بر روی آنژیم‌های آلفا آمیلاز بررسی می‌گردد و در مرحله بعد، از حیوانات آزمایشگاهی برای بررسی اثر مهار کننده‌های مورد نظر استفاده می‌گردد [۱۴]. موش صحرایی یک مدل آزمایشگاهی رایج برای بررسی‌های دیابت و چاقی است، لیکن این مسئله که نتایج به دست آمده از آزمایش بر حیوانات آزمایشگاهی تا چه حد قابل تعمیم به انسان است نیز قابل تأمل می‌باشد. از آنجایی که ساختار کریستالی از آمیلاز این حیوان در دست نیست، استفاده از مدل سازی مولکولی ساده‌ترین روش برای تهیه مدلی از ساختار آنژیم می‌باشد [۱۵]. از مدل ایجاد شده به منظور مقایسه و تعیین شباهت‌ها و تفاوت‌های آمیلاز پانکراسی موش (RPA)، با آمیلاز پانکراسی انسان (HPA) که هدف اصلی طراحی مهار کننده‌های آنژیم است، استفاده گردید.

روش‌ها

بررسی ترادف آمینواسیدی و مدل‌سازی

توالی آمینواسیدی آنژیم موش صحرایی RPA (*Rattus Norvegicus*) از طریق پایگاه اطلاعات NCBI به دست آمد (Blast). از برنامه Clustal W [۱۶] برای بررسی ترادف اطلاعات NCBI و HPA استفاده گردید. برای مدل‌سازی ساختار آنژیم موش از SWISS MODEL استفاده شد (<http://www.expasy.ch/swissmod/SWISSmodel>). ساختار کریستالوگرافی HPA با کد 3OLD.pdb به عنوان الگو مورد استفاده قرار گرفت.

جايگيري (داكينگ)

جايگيري ترکيبات، با برنامه Auto Dock 3.0.5 انجام شد. برای نسبت دادن بار به پروتين از بارهای Kollman استفاده شد و برای ليگاند بار Gasteiger در نظر گرفته شد. جعبه (Grid) به کار رفته برای محدود کردن منطقه جايگيري، شامل کل حجم پروتين بود. برای انجام جايگيري از الگوريتم ژنتيك استفاده شد و حداقل موارد بررسی (Maximum Number of evals) ۲۵۰۰۰ عدد در نظر گرفته شد. مولکول‌های اضافی همراه آنژیم، مانند حالل پيش از docking از فایل PDB آنژیم حذف گردید.

شبيه‌سازی ديناميک مولکولي

بهترین حالت ليگاند به دست آمده از Docking برای شبيه‌سازی استفاده گردید. از شبيه‌سازی ديناميکي موجود در برنامه MOE 2008 برای شبيه‌سازی‌های ۴۰۰۰ پيكو ثانية‌اي در دماي T=300K استفاده شد. ابتدا سистем در حال آب قرار گرفت و شبيه‌سازی مقدماتي، با شرياط دماي 300K و زمان ۱۰۰ پيكو ثانية به منظور ايجاد تعادل در سистем انجام گردید. لازم به ذكر است در تمام مراحل شبيه‌سازی از OPLAS - AA Force field استفاده گردید. سپس ميان‌كش‌های بهترین حالت قرار گيری ليگاند در جايگاه فعل آنژیم مورد نظر، مورد بررسی قرار گرفت.

می باشد. لوپی متشكل از سه آمینو اسید TGS که در موقعیت ۱۴۵ – ۱۴۳ در HPA قرار دارد، در دمین B آنزیم واقع شده و چون معادل این سه آمینو اسید در RPA وجود ندارد، سکانس آمینواسیدی RPA سه آمینو اسید کمتر از HPA دارد.

برای بررسی تفاوت ها و شباهت های بین HPA و RPA از مهار کننده ای با قدرت مهاری قابل قبول استفاده گردید. همانطور که اشاره شد مشتقات Mهار Acarviostatin کننده های قوی برای HPA به شمار می آید. از آنجایی که این مهار کننده ۶ زیر واحد دارد قادر است که ۶ زیر جایگاه را در جایگاه فعال آنزیم HPA اشغال نماید. بنابراین می تواند نقش مهاری موثری را ایفا نماید.

براساس نتایج حاصل از آزمایش بر روی قدرت مهاری آکاربوز و IO_3 Acarviostation قدرت مهاری IO_3 Acraviostatin IO_3 دو برابر آکاربوز است. (قدرت مهاری حاصل تقسیم K_i آکاربوز به IO_3 K_i است [۱۷]). با استفاده از ۳۰۵ dock Auto مکان قرار گیری IO_3 تعیین گردید. در مرحله بعد از شبیه سازی دینامیک مولکولی به مدت ۴۰۰۰ ps استفاده گردید تا قادر باشیم میان کنش های برقرار شده بین لیگاند و آمینواسیدهای جایگاه فعال آنزیم که انعطاف پذیر است و در حل قرار دارد را بررسی کنیم. نمودارهای ۲، ۱ و ۴ حاصل از شبیه سازی تغییر محسوسی در موقعیت اتم کلسیم، اتم کلر و پروتئین نشان نمی دهد و طی مراحل شبیه سازی تنها جابجایی لیگاند مشهود است.

میان کنش آمینواسیدهای موجود در جایگاه فعال آنزیم IO_3 در مراحل ۱۰۰ پیکو ثانیه، 4000 پیکو ثانیه، حداکثر انرژی سیستم وحداقل انرژی سیستم بررسی گردید (جدول ۱ و ۲).

یافته ها و بحث

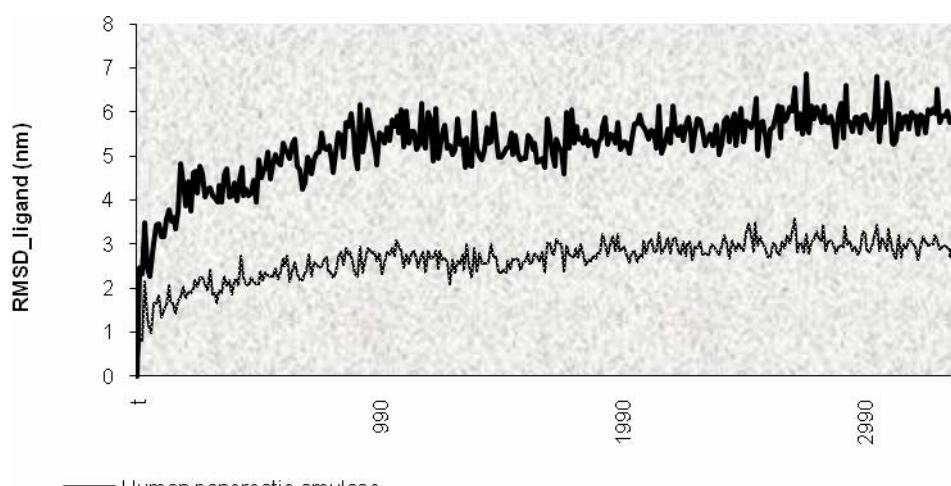
در این تحقیق از مدل ایجاد شده به منظور مقایسه و تعیین شباهت ها و تفاوت های HPA با RPA، که هدف اصلی تحقیقات است، استفاده گردید. شکل ۱ نتایج مقایسه توالي های آنزیم های RPA و HPA توسط BLAST را نشان می دهد که شامل ۹۲٪ تشابه و ۸۵٪ یکسان بودن آمینه ها این دو آنزیم است.

اولین قدم در مرحله مدل سازی مولکولی انتخاب الگوی مناسب برای مدل سازی است که در این تحقیق برای مدل سازی آمیلاز موش، از (3OLD.pdb) استفاده شد. همراه این ساختار مهار کننده (IO_3) Acarviostatin قرار داشت. این مهار کننده کربوهیدراتی، شش زیر واحد دارد و قدرت مهار کننده ای آن نیز از آکاربوز بیشتر است (شکل ۲) [۱۷].

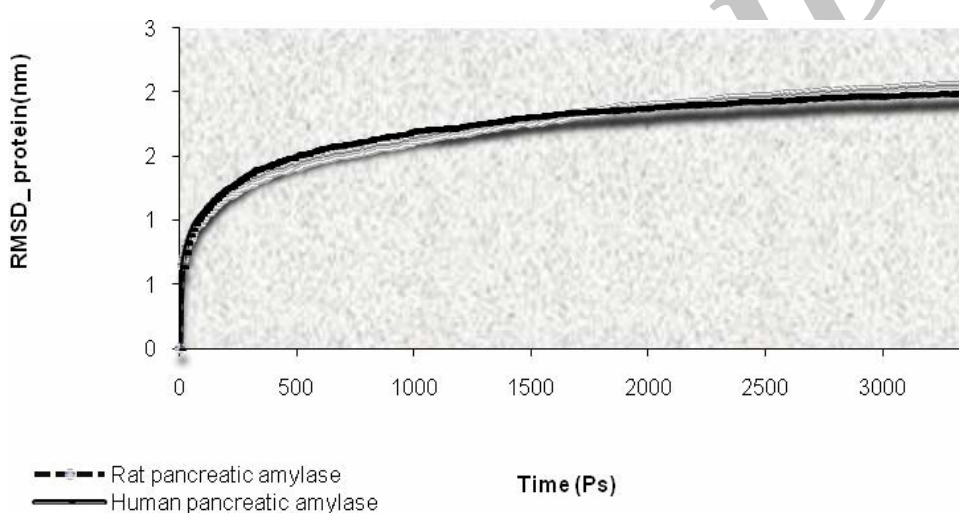
از Swiss modeller برای مدل سازی RPA استفاده شد و مدل ساخته شده توسط MOE از نظر انرژی بهینه شد. در بررسی کیفیت مدل توسط Errat فاکتور کیفیت Errat ۰/۹۳/۶۷۱ را نشان می دهد. از آنجایی که فاکتور کیفیت Errat بالاتر از ۹۱٪ قابل قبول است این نتیجه نشان دهنده قابل قبول بودن مدل به دست آمده است [۱۸]. منحنی راماچاندران حاصل از MOE نشان می دهد که از باقی مانده های آمینواسیدی در محدوده مجاز قرار دارند (شکل ۳) که این عامل نیز خود دلیل بر قابل قبول بودن مدل ساخته شده است.

در شکل ۴ اسکلت دو آنزیم HPA و RPA روی یکدیگر قرار داده شده است. در این شکل سه دمین C، B، A مجموعاً بر هم منطبق هستند ولیکن سه آمینواسیدی که در HPA بیشتر از RPA وجود دارد به شکل لوپ دیده می شود.

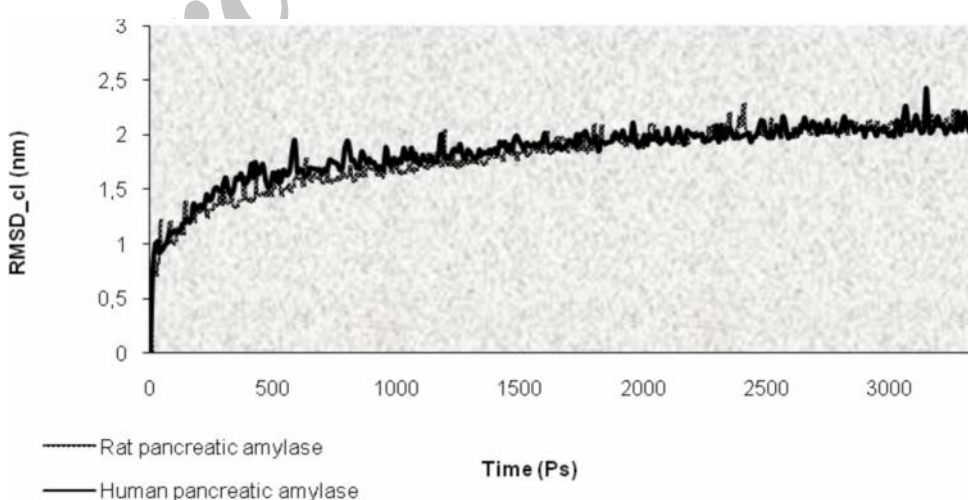
HPA دارای ۴۹۶ آمینو اسید و RPA دارای ۴۹۳ آمینو اسید



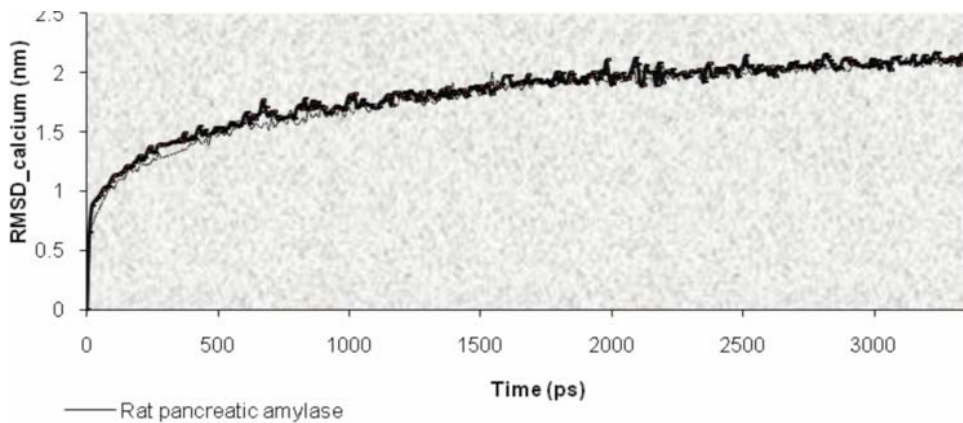
نمودار ۱- مقایسه RMSD لیگاند در آمیلاز انسان و موش در طول شبیه سازی



نمودار ۲- مقایسه RMSD پروتئین در آمیلاز انسان و موش در طول شبیه سازی



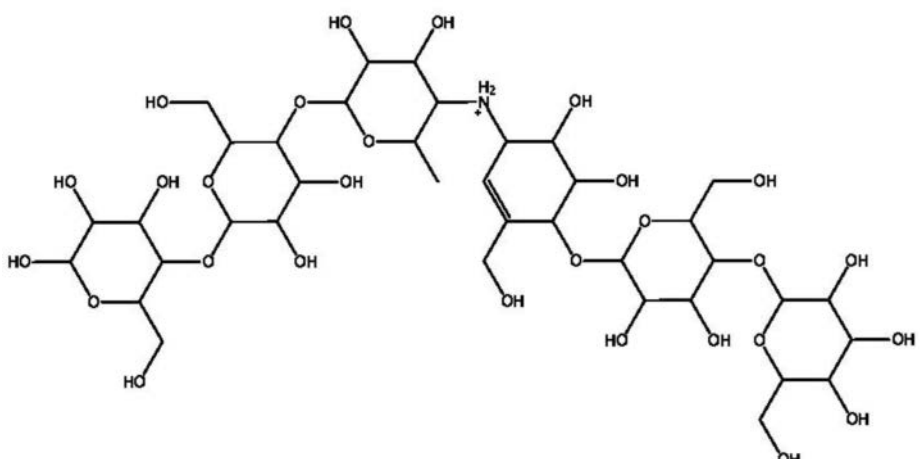
نمودار ۳- مقایسه RMSD کل در دو آنزیم آمیلاز موش و انسان طی شبیه سازی



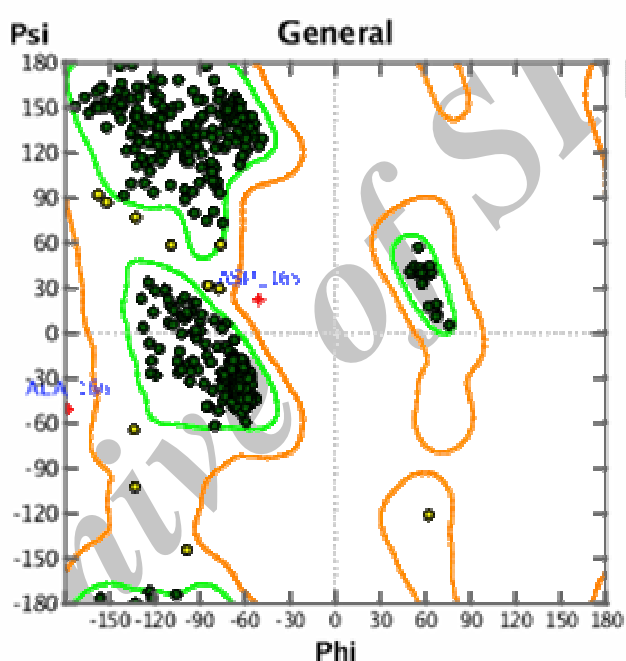
نمودار ۴- مقایسه RMSD کلسیم در دو آنزیم آمیلاز موش و انسان طی شبیه سازی.

sp P04746 AMYP_HUMAN	MKFFLLLFTIIGFCWAQYS PNTQQGRISIVHLFEWRWVDIALECERYLAPKGFGGVQVSPP	60
sp P00689 AMYP_RAT	MKFVLLLSLIGFCWAQYD PHTADGRTAIVHLFEWRWADIAKECERYLAPKGFGGVQVSPP	60
<hr/>		
sp P04746 AMYP_HUMAN	NENVAIYNPFPPWERYQPVSYKLCTRSQEDEFRNMVTRCNNVGVRIVYDAVINHMCN	120
sp P00689 AMYP_RAT	NENIIINNPSRPWWERYQPISYKICSRSGNENEFKDMVTRCNNVGVRIVYDAVINHMCN	120
<hr/>		
sp P04746 AMYP_HUMAN	AVSAGTSSTCGSYFNPGSRDFPAVPYSQWDNFNDGCKTGSGDIENYNDATQVRDCRLTGL	180
sp P00689 AMYP_RAT	GNSAGTHSTCGSYFNPNREFSAVPSANYFNDNPKCN---GEINNYNDANQVRNCRLSGL	177
<hr/>		
sp P04746 AMYP_HUMAN	LDLALEKDYVRSKIAEYMNHLIDIGVAGFRLDASKHMWPGDIKAILDKLHNLNNSNWFPAG	240
sp P00689 AMYP_RAT	LDLALDKDYVRTKVADEMNNLIDIGVAGFRLDAAKHMWPGDIKAVLDKLHNLNWKWSQG	237
<hr/>		
sp P04746 AMYP_HUMAN	SKPFIYQEVIDLGGEPIKSSDYFGNGRVTEFKYGAKLGTIVRKWNGEKMSYLNWNGEWG	300
sp P00689 AMYP_RAT	SRPFIFQEVIDLGGEAIKGSEYFGNGRVTEFKYGAKLGTIVRKWNGEKMSYLNWNGEWG	297
<hr/>		
sp P04746 AMYP_HUMAN	FVPSDRALVFVDNHNDNQRGHGAGGASILT FWDARLYKMAVGFMLAH PYGFTRVMSYYRWP	360
sp P00689 AMYP_RAT	FVPTDRALVFVDNHNDNQRGHGAGGASILT FWDARMYKMAVGFMLAH PYGFTRVMSYYRRT	357
<hr/>		
sp P04746 AMYP_HUMAN	RQFQNQNDVNDWVGPPNNNGVIKEVTINPDITCGNDWCEHRWRQIRNMIIFRNVVDGQP	420
sp P00689 AMYP_RAT	RNFQNQKDVNWDWIGPPNNNGVIKEVTINPDITCGNDWCEHRWRQIRNMFIFRNVVNGQP	417
<hr/>		
sp P04746 AMYP_HUMAN	FTNWYDNGSNQVAFGRGNRGFIVFNNDDWSFSLTLQTGLPAGTYCDVISGDKINGNCTGI	480
sp P00689 AMYP_RAT	FANWWDNGSNQVAFSRGNRGFIVFNNDDWALSSTLQTGLPAGTYCDVISGDKVNGNCTGL	477
<hr/>		
sp P04746 AMYP_HUMAN	KIYVSDGKAHFSISNSAEDPFIAIHAEASKL	511
sp P00689 AMYP_RAT	KVNVGSDGKAHFSISNSAEDPFIAIHADSKL	508

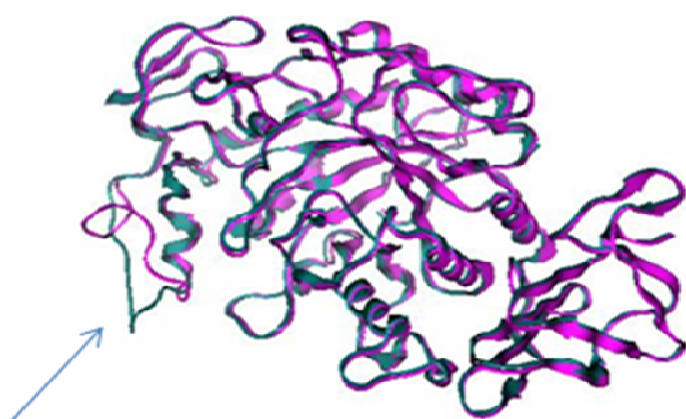
شکل ۱- مقایسه توالی HPA و RPA توسط برنامه Clustal W



شکل ۲- ساختار Acarviostatin (IO₃)



شکل ۳- منحنی راماچاندران مدل ساخته شده



شکل ۴- اسکلت دو آنزیم HPA و RPA در حالت Superpose

جدول ۱- تعداد و طول پیوندها بین آمینواسیدهای تعیین شده در HPA و مهارکننده IO_3 (بر حسب آنگستروم) در مراحل مختلف شبیه‌سازی

His ۱۰۱	TRP ۵۹	ASP ۱۹۷	Ala ۱۰۶	THR ۱۶۳	GLN ۶۳	HIS ۲۰۱	GLU ۲۳۳	HIS ۲۹۹	ASP ۳۰۰	
۲/۳۵	۲/۰۹	۱/۶۲			۲/۴۸	۱/۷۹	۲/۵۶ ۲/۱۱	۱/۶۲	۲/۳۴	۱/۶۴
										۱۰۰ پیکوثانیه
۲/۸۵	۲/۳۵	۱/۶۲	۲/۰۲	۱/۵۵	۲/۳۶	۲/۴۹	۲	۲/۴۹	۱/۶۲	۴۰۰۰
										پیکوثانیه
۲/۳۵	۲/۰۹	۱/۶۲		۲/۴۸	۱/۷۹	۲/۵۶ ۲/۱۱	۱/۶۲	۲/۳۴	۱/۶۴	ماکریم انژی
										کل سیستم
۲/۳۸	۱/۸۶	۱/۴۴	۲/۳۷	۱/۹۲	۲/۰۵	۲/۷۱	۱/۶۷		۱/۶۱	مینیم انژی
									۱/۶۶	کل سیستم

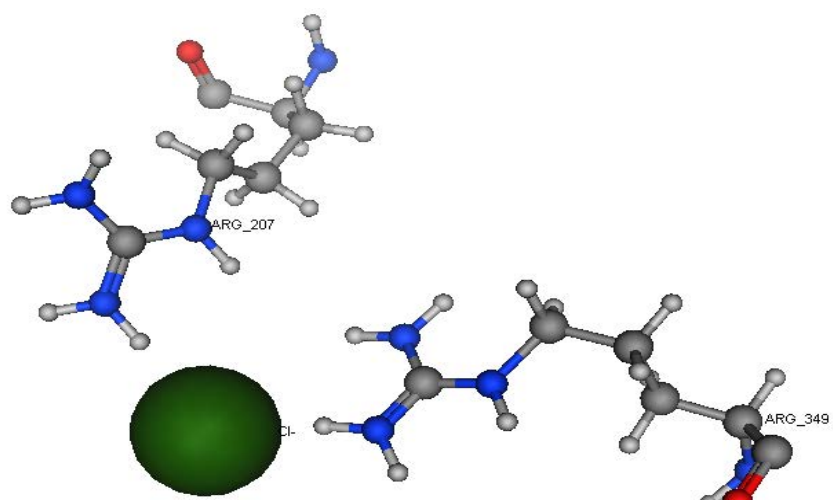
جدول ۲- تعداد و طول پیوندها بین آمینواسیدهای تعیین شده در RPA و مهارکننده IO_3 (بر حسب آنگستروم) در مراحل مختلف شبیه‌سازی

Ser ۱۰۵	His ۱۰۱	Lys ۱۹۷	His ۱۹۸	His ۲۹۶	Trp ۵۹	Gln ۶۳	Gly ۱۰۶	Ser ۱۶۰	Asp ۱۹۴	Glu ۲۳۰
۲/۲۹	۱/۷۴		۲/۷۸ ۲/۹۳	۲/۷۶	۲/۰۹	۱/۶۰	۲/۱۳	۱/۹۲ ۲/۲۰	۱/۷۲	۱/۵۶ ۲/۷۳
				۲/۰۶ ۲/۶۲	۲/۱۵ ۲/۸۳	۲/۹۳	۱/۹۸	۲/۶۲ ۱/۶۵	۱/۶۳	۱/۷۶ ۱/۵۷
۲/۹۷	۱/۷۸		۲/۰۶ ۲/۶۲	۲/۱۵ ۲/۸۳	۲/۹۳	۱/۹۸	۲/۶۲ ۱/۶۵	۲/۱۳ ۱/۶۵	۱/۶۳	۱/۷۶ ۱/۵۷
				۲/۷۸ ۲/۹۳	۲/۷۶	۲/۰۹	۱/۶۰	۲/۱۳	۱/۹۲ ۲/۲۰	۱/۵۶ ۲/۷۳
۲/۵۷	۱/۷۹		۲/۴۷ ۱/۹۸	۲/۱۵ ۲/۹۸	۲/۸۱	۱/۶۶	۲/۴۶	۱/۹۵ ۲/۱۳	۱/۶۳	۱/۵۳ ۲/۵۰
										مینیم انژی کل سیستم

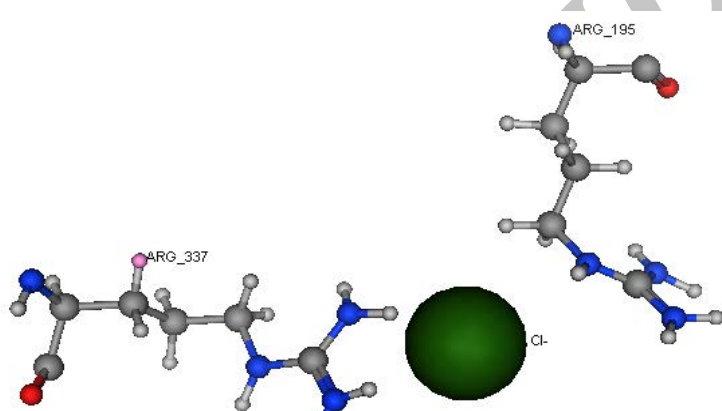
مقایسه مکان قرارگیری کلر و کلسیم در دو آنزیم نیز نشان دهنده شباهت بین آنهاست. در ساختار RPA آمینواسیدهای پیوند دهنده با کلر عبارتند از R_{192} و R_{334} . با بررسی ساختار HPA مشاهده می‌شود که آمینواسیدهای معادل، یعنی R_{195} و R_{337} نیز در پیوند با کلر نقش دارند. (شکل ۵ الف و ۵ ب). آمینواسیدهای پیوند دهنده با کلسیم در ساختار RPA عبارتند از R_{155} , D_{164} , N_{137} , N_{100} , H_{198} , D_{164} , N_{137} , R_{158} , H_{201} و N_{100} آمینواسیدهای موجود در HPA می‌باشند که دلیل بر شباهت دو آنزیم می‌باشد. (شکل ۶ الف و ۶ ب). این موضوع به خصوص از جهت اهمیت نقش کلر و کلسیم در فعایت آنزیم [۲۰، ۲۱] مورد توجه است.

در این بین نقش تعدادی از آمینواسیدها بر جسته تر است. از میان آنها می‌توان به $D_{۲۰۰}$ در HPA اشاره نمود که در تمام مراحل دو پیوند هیدروژنی پایدار ایجاد نموده است، $D_{۱۹۷}$ در HPA و $D_{۱۹۴}$ در RPA نیز در تمام مراحل، پیوند هیدروژنی پایداری ایجاد نموده اند. علاوه بر آمینواسیدهای ذکر شده در RPA هم در مراحل بررسی شده پیوندهای هیدروژنی پایداری ایجاد نموده اند. علاوه بر آمینواسیدهای ذکر شده $Q_{۱۹۷}$, $S_{۱۶۰}$, $K_{۱۶۰}$, H_{201} , $G_{۲۳۳}$ نیز در RPA پیوندهایی با پایداری بالا ایجاد می‌کنند. با توجه به نتایج فوق اهمیت این آمینواسیدها در طراحی مهارکننده های جدید محرز می‌باشد. نکته قابل توجه در اینجا آمینواسیدهای $Q_{۱۹۷}$, $S_{۱۶۰}$ و $K_{۱۶۰}$ هستند که جزو باقی مانده های کاتالیتیک نمی‌باشند.

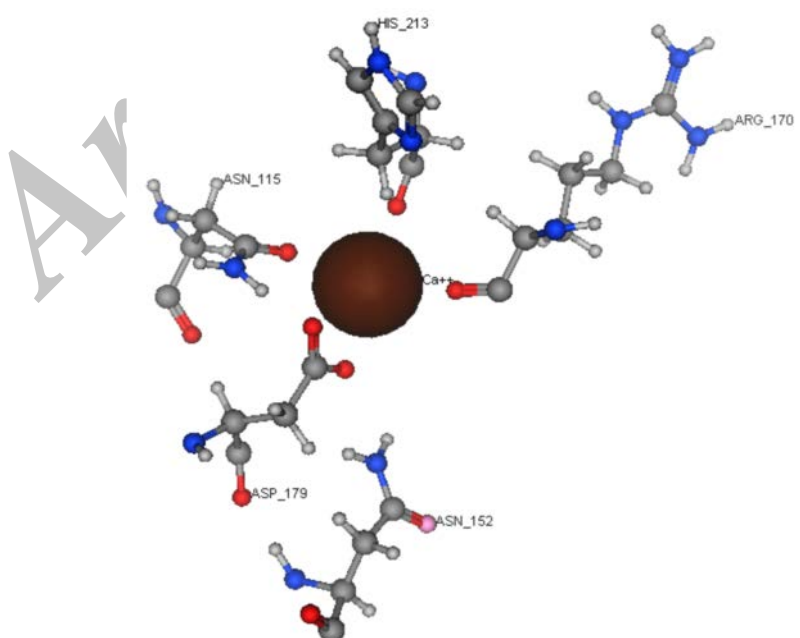
[۱۹]



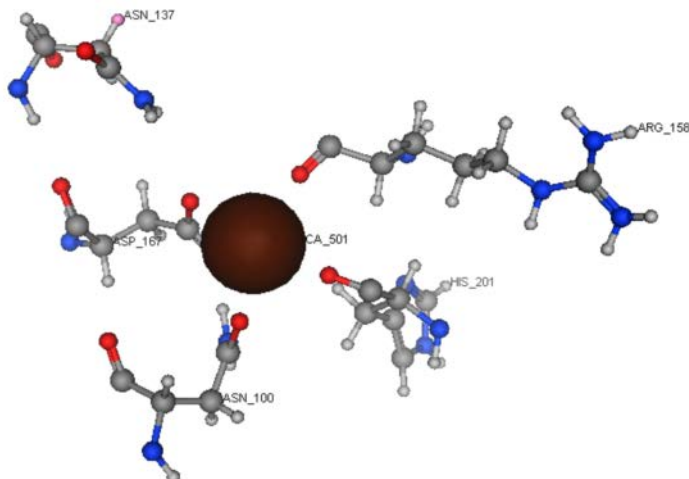
شکل ۵ (الف)- باقیمانده‌های آمینو اسیدی RPA در اطراف اتم کلر (شماره آمینواسیدها با ۱۵ آمینواسید پتید نشانه محاسبه گردیده است)



شکل ۵ (ب)- باقیمانده‌های آمینو اسیدی HPA در اطراف اتم کلر



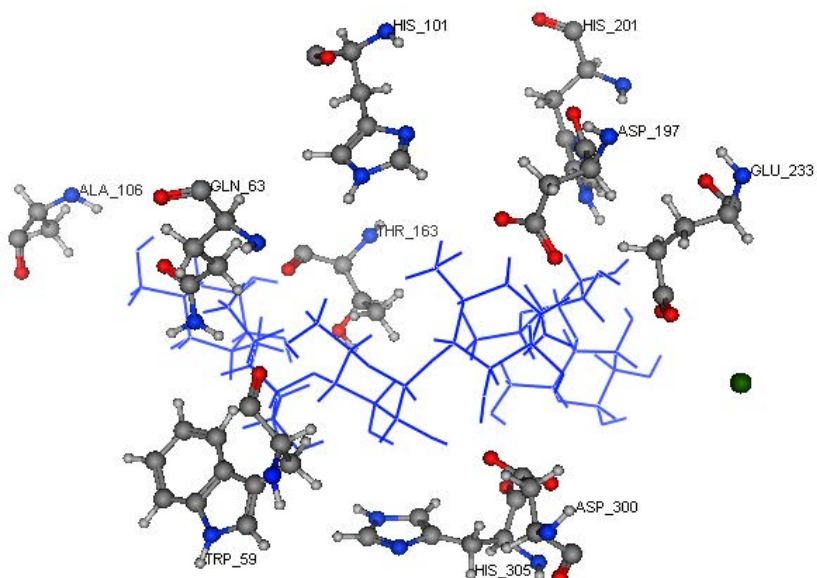
شکل ۶ (الف)- باقیمانده‌های آمینو اسیدی در اطراف کلسیم ساختار RPA (شماره آمینواسیدها با ۱۵ آمینواسید پتید نشانه محاسبه گردیده است)



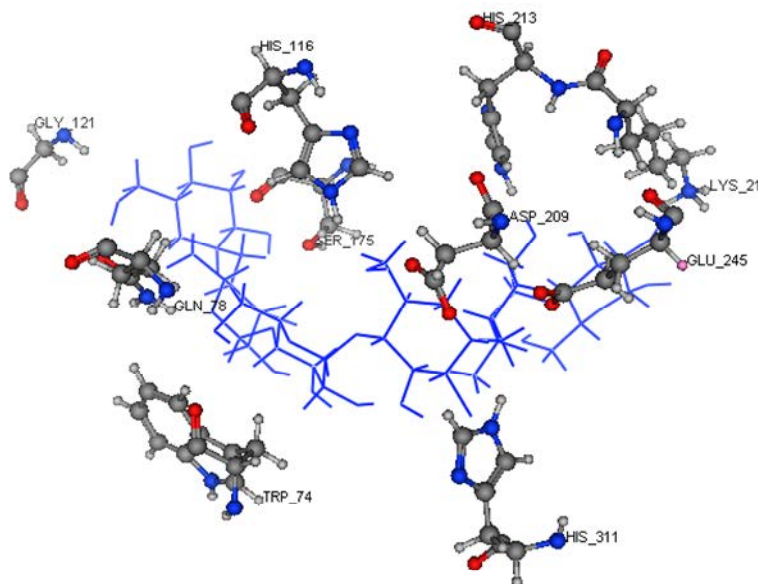
شکل ۶ (ب)- باقیمانده‌های آمینو اسیدی HPA در اطراف کلسیم

می دهند مشابه هم هستند. آمینو اسیدهای موجود در HPA عبارتند از W_{59} , D_{197} , E_{233} , D_{300} , H_{101} و H_{201} , A_{106} و T_{163} . در مقایسه با HPA, آمینو اسیدهای جایگاه فعال RPA عبارتند از: D_{194} , W_{59} و S_{160} , E_{230} , K_{197} و H_{101} و H_{198} و H_{296} و Q_{63} و G_{106} .

شکل ۷ الف و ۷ ب میانکنش بین آمینواسیدهای موجود در جایگاه فعال آنزیم‌های HPA و RPA را با IO_3^- نشان می‌دهد. با مقایسه آمینواسیدهایی که در این دو آنزیم با IO_3^- میانکنش داده‌اند دیده شده، تعدادی از آمینواسیدهای موجود در جایگاه فعال دو آنزیم که با IO_3^- میانکنش



شکل ۷ (الف) - باقیمانده‌های آمینو اسیدی HPA که قابلیت ایجاد میانکنش با لیگاند را دارند



شکل ۷ (ب)- باقیمانده‌های آمینو اسیدی RPA که قابلیت ایجاد میانکنش با لیکاند را دارند (شماره آمینواسیدها با ۱۵ آمینواسید پتید نشانه محاسبه گردیده است)

اندازه‌ای هست که بتوان در مطالعات غربالگری جهت یافتن ترکیبات مهار کننده، از آنزیم موش استفاده کرد. لیکن در طراحی ترکیبات اختصاصی‌تر، می‌بایست متوجه تفاوت‌های این دو آنزیم بود، چرا که حذف سه آمینو اسید در آنزیم موش، و نیز تفاوت‌های جزئی جایگاه فعال ممکن است موجب تفاوت رفتاری آن با آنزیم انسان باشد.

سپاسگزاری

در این مطالعه از نرم‌افزارهای مرکز تحقیقات غدد و متابولیسم دانشگاه علوم پزشکی تهران استفاده گردید.

از میان ۱۰ آمینو اسید شرکت کننده در میانکنش با IO_3^- آمینو اسید در هر دو آنزیم HPA و RPA متفاوت هستند. S_{160} در RPA مشابه T_{163} در HPA است. یک آمینو اسید قطبی، جانشین آمینو اسید قطبی دیگر شده است با این تفاوت که T_{163} زنجیره جانبی حجمی‌تری نسبت به S_{160} دارد. به علاوه G_{106} در RPA جایگزین A_{106} در HPA شده است. در این مورد نیز گلایسین که فاقد زنجیره جانبی است، جانشین آمینو اسید الیفاتیک شده است. در این مورد، تفاوت بیشتری نسبت به مورد قبلی وجود دارد، زیرا حذف زنجیر جانبی این اسید آمینه می‌تواند جایگاه کمی بزرگتری را در آنزیم موش فراهم آورد. به طور خلاصه، میزان شباهت‌های این دو آنزیم در

مأخذ

- 1- Numao S, Damager I, Li C, Wrodnigg TM, Begum A, Overall CM, Brayer GD, Withers SG. In Situ Extension as an Approach for Identifying Novel alpha Amylase Inhibitors. *J Biological Chemistry* 2004, 279(46): 48282-48291.
- 2- Qian M, Haser R, Payan F. Carbohydrate binding sites in a pancreatic α-amylase-substrate complex, derived from X-ray structure analysis at 2.1 Å resolution. *Protein Science* 1995, 4,p747-755.
- 3- Qian M, Nahoum V, Bonicel J, Bischoff H, Henrissat B, Payan F. Enzyme-Catalyzed Condensation Reaction in a Mammalian Alpha-Amylase. High-Resolution Structural Analysis of an Enzyme-Inhibitor Complex *Biochemistry*, 2001, 40,p 7700-7709.
- 4- Jespersen HM, MacGregor EA, Sierks MR, Svensson B Comparison of the domain-level organization of starch hydrolases and related enzymes. *Biochem J* 1991; 280: .p51-55.
- 5- Nakajima R, Imanaka T, and Aiba S, Comparison of amino acid sequences of eleven different alpha-amylases *Appl Microbiol Biotechnol* 1986; 23: p355-360.

- 6- Lo Piparo E, Scheib H, Frei N, Williamson G, Grigorov M, and Chou CJ. Flavonoids for Controlling Starch Digestion: Structural Requirements for Inhibiting Human r-Amylase. *J Med Chem* 2008; 51: p3555–3561.
- 7- Meisler MH and Ting C-N .The Remarkable Evolutionary History of the Human Amylase Genes Critical Reviews in *Oral Biology and Medicine* 1993; 4: p503-509.
- 8- Boivin M, Flourie B, Rizza RA, Go VL, DiMagno EP .Gastrointestinal and metabolic effects of amylase inhibition in diabetics. *Gastroenterology* 1998; 94: p387–394.
- 9- Darlington, G J, Tsai C C, Samuelson L C, Gumucio D L, and Meisler M H. Simultaneous expression of salivary and pancreatic amylase genes in cultured mouse hepatoma cells. *Mol Cell Biol* 1986; 6(4): .p 969-975.
- 10- Tundis, R; Loizzo, M. R; Menichini, F. Natural products as alpha-amylase and alpha-glucosidase inhibitors and their hypoglycaemic potential in the treatment of diabetes. *Med Chem* 2010; 10: (4).p 315-31.
- 11- Funke I, Melzig MF. Traditionally used plants in diabetes therapy - phytotherapeutics as inhibitors of α -amylase activity. *Brazilian Journal of Pharmacognosy* 2006; 16(1): p1-5.
- 12- Aoki, K.; Muraoka, T.; Ito, Y.; Togashi, Y.; Terauchi, Y., Comparison of adverse gastrointestinal effects of acarbose and miglitol in healthy men: a crossover study. *Intern Med* 2010; 49 (12): p1085-7.
- 13- Randhir R , Shetty K. Improved α -amylase and Helicobacter pylori inhibition by fenugreek extracts derived via solid-state bioconversion using Rhizopus oligosporus. *Asia Pac J Clin Nutr* 2007; 16 (3); p382-392.
- 14- Jo S-H, Ka E-H, Lee H-S, Apostolidis E, Jang H-D and Kwon Y-I Comparison of Antioxidant Potential and Rat intestinal α -Glucosidases inhibitory Activities of Quercetin, Rutin, and IsoQuercetin International. *Journal of Applied Research in Natural Products* 2010; 2 (4): p 52-60.
- 15- Ginalski K, Comparative modeling for protein structure prediction. *Curr Opin Struct Biol* 2006; 16: p172-177.
- 16- Larkin, M. A.; Blackshields, G.; Brown, N. P.; Chenna, R.; McGettigan, P. A.; McWilliam, H.; Valentin, F.; Wallace, I. M.; Wilm, A.; Lopez, R.; Thompson, J. D.; Gibson, T. J.; Higgins, D. G., Clustal W and Clustal X version 2.0. *Bioinformatics* 2007; 23 (21): p2947-8.
- 17- Qin, X.; Ren, L.; Yang, X.; Bai, F.; Wang, L.; Geng, P.; Bai, G.; Shen, Y., Structures of human pancreatic alpha-amylase in complex with acarviostatins: Implications for drug design against type II diabetes. *J Struct Biol* 2011; 174 (1): p 196-202.
- 18- Colovos, C.; Yeates, T. O., Verification of protein structures: patterns of nonbonded atomic interactions. *Protein Sci* 1993; 2 (9): p 1511-9.
- 19- Oudjeriouat N, Moreau Y, Santimone M, Svensson B, Marchis-Mouren G, Desseaux V.On the mechanism of alpha-amylase. *Eur J Biochem* 2003; 270(19): p3871-9.
- 20- Aghajari N, Feller G, Gerdai C, and Haser R. Structural basis of alpha-amylase activation by chloride. *Protein Sci* 2002; 11: p1435-41.
- 21- Kayamori Y, Katayama Y. Enzymatic method for assaying calcium in serum and urine with porcine pancreatic alpha-amylase. *Clin Chem* 1994 40(5): p781-4.